

RNAi 抑制 iASPP 基因表达对大肠癌细胞凋亡的影响及机制

孙留生¹, 韩朝阳¹, 李爱云², 凌艳霞¹

(1. 焦作市第二人民医院, 河南 焦作 454000; 2. 焦作市人民医院, 河南 焦作 454000)

摘要: [目的] 探讨 RNAi 抑制 iASPP 基因表达对大肠癌细胞凋亡的影响。[方法] 参照脂质体 LipofectamineTM2000 转染说明转染 iASPP 的 siRNA (iASPP-siRNA 组) 进入人大肠癌 LoVo 细胞株, 并设置阴性对照组(转染无义的 siRNA 序列)和空白对照组(仅加入脂质体), Western blotting 检测转染 48h 的 3 组细胞中 iASPP 的蛋白表达; CCK8 法于转染的 24h、48h、72h 检测细胞活力; 流式细胞术检测转染 48h 的细胞凋亡率; Western blotting 检测 Ki-67、含半胱氨酸的天冬氨酸蛋白水解酶 3 (Caspase3)、STAT3 和磷酸化的信号转导与转录因子 3(p-STAT3)的蛋白表达。[结果] iASPP-siRNA 组 (0.108 ± 0.013) LoVo 细胞株 iASPP 的蛋白表达显著低于空白对照组 (0.389 ± 0.036) ($P < 0.05$); iASPP-siRNA 组细胞在 24h (0.267 ± 0.034)、48h (0.495 ± 0.067) 和 72h (0.682 ± 0.068) 的活力细胞均显著低于空白对照组 (0.385 ± 0.042 、 0.688 ± 0.074 、 0.977 ± 0.097) ($P < 0.05$), 在 48h 的细胞凋亡率 ($11.18\% \pm 0.78\%$) 显著高于空白对照组 ($2.13\% \pm 0.45\%$) ($P < 0.05$)。Ki-67 (0.126 ± 0.018) 和 p-STAT3 (0.110 ± 0.012) 的蛋白表达水平显著低于空白对照组 (0.365 ± 0.045 、 0.169 ± 0.018)。Caspase3 (0.197 ± 0.020) 表达水平高于空白对照组 (0.086 ± 0.009) ($P < 0.05$)。3 组间 STAT3 蛋白表达水平差异无统计学意义 ($P > 0.05$)。[结论] 通过 RNAi 抑制 iASPP 基因表达可降低大肠癌细胞增殖, 诱导细胞凋亡, 机制可能是下调 STAT3 信号, 对细胞增殖的影响是下调 Ki-67 表达, 凋亡的影响是上调 Caspase3 表达。

主题词: iASPP 基因; 大肠肿瘤; 凋亡; STAT3 信号通路; RNA 干扰

中图分类号: R735.3⁴ **文献标识码:** A **文章编号:** 1671-170X(2019)04-0300-05

doi: 10.11735/j.issn.1671-170X.2019.04.B003

Effect of Inhibiting of iASPP Gene Expression by RNA Interference on Apoptosis of Colorectal Cancer Cells

SUN Liu-sheng¹, HAN Chao-yang¹, LI Ai-yun², LING Yan-xia¹

(1. Jiaozuo Second People's Hospital, Jiaozuo 454000, China; 2. Jiaozuo People's Hospital, Jiaozuo 454000, China)

Abstract: [Objective] To investigate the effect of inhibiting iASPP gene expression by RNA interference on apoptosis of colorectal cancer cells. [Methods] Human colorectal cancer LoVo cells were transfected with iASPP siRNA (iASPP-siRNA group), nonsense sequence siRNA (negative control group) or liposome alone (blank control group) for 24, 48 and 72h, respectively. The expression of iASPP protein in three groups was detected by Western blotting; cell viability was detected by CCK8 assay, cell apoptosis was detected by flow cytometry; the expression of Ki-67, Caspase3, STAT3 and p-STAT3 proteins was detected by Western blotting. [Results] The expression of iASPP protein in iASPP-siRNA group (0.108 ± 0.013) was significantly lower than that in blank control group (0.389 ± 0.036) ($P < 0.05$). The cell activity in iASPP-siRNA group at 24h (0.267 ± 0.034)、48h (0.495 ± 0.067) 和 72h (0.682 ± 0.068) were significantly decreased compared with the control group (0.385 ± 0.042 、 0.688 ± 0.074 、 0.977 ± 0.097)。Cell apoptosis rate ($11.18\% \pm 0.78\%$) increased significantly at 48h compared with the blank control group ($2.13\% \pm 0.45\%$)%。The expression of Ki-67 (0.126 ± 0.018) and p-STAT3 protein (0.110 ± 0.012) was significantly decreased compared with the control group (0.365 ± 0.045 、 0.169 ± 0.018)，and the Caspase3 protein expression (0.197 ± 0.020) was significantly increased compared with the control group (0.086 ± 0.009) (all $P < 0.05$)。There was no significant difference in protein expression of STAT3 among three groups ($P > 0.05$)。[Conclusion] Inhibition of iASPP expression by RNA interference can reduce the proliferation of colorectal cancer cells and induce cell apoptosis, which is associated with the down-regulation of p-STAT3 and Ki-67 expression, and up-regulation of Caspase3 expression.

Subject words: iASPP gene; colorectal cancer; apoptosis; STAT3 signaling pathway; RNA interference

通信作者: 韩朝阳,主任医师,硕士;河南省焦作市第二人民医院普外科一区,河南省

焦作市民主南路 17 号(454000);E-mail:hanzhaoyang@126.com

收稿日期:2018-03-28;修回日期:2018-07-17

大肠癌是常见的人类消化道恶性肿瘤之一,近年来我国大肠癌的发病率呈上升趋势。外科手术是其主要治疗手段,但术后复发率高,且5年生存率低^[1]。p53凋亡刺激蛋白家族抑制成员(inhibitor member of the apoptosis stimulating protein of p53 family,i-ASPP)是ASPP家族成员,能够抑制p53的促凋亡活性。有研究表明,在前列腺癌、肺癌等多种肿瘤中iASPP表达升高,结合病理及临床资料发现iASPP的表达与病理分级、淋巴结转移、复发时间等相关^[2,3]。也有研究者发现,在多种实体肿瘤中过表达iASPP可促进肿瘤的生长增殖及侵袭能力,抑制凋亡,并产生化疗抗性,推动肿瘤的发生及发展,而抑制其表达则有相反作用^[4,5]。iASPP在大肠癌中也呈现高表达^[6],但目前关于其对癌细胞生物学特性及机制研究还未明确。因此,本研究通过RNA干扰技术沉默大肠癌中iASPP基因表达,检测细胞增殖及凋亡情况,并探讨其作用机制,为其治疗提供理论依据。

1 材料与方法

1.1 试剂和仪器

胎牛血清、RPMI1640培养基、胰蛋白酶均购自美国Gibco;LipofectamineTM2000购自美国Invitrogen公司;iASPP、Ki67、含半胱氨酸的天冬氨酸蛋白水解酶3(cysteinyl aspartate specific proteinase 3,Caspase3)、STAT3和磷酸化的信号转导与转录因子3(phosphorylated Signal transducers and activators of transcription 3,p-STAT3)抗体均购自美国Cell signal公司;CCK8试剂盒、膜联蛋白V-FITC(Annexin V-FITC)/碘化丙啶(PI)细胞凋亡试剂盒均购自碧云天生物技术研究所;酶标仪购自美国BIO-RAD公司;流式细胞仪购自美国Becton Dickinson公司。

1.2 细胞及其培养

人大肠癌LoVo细胞株购自中科院上海细胞库。取出在液氮罐中保存的LoVo细胞,37℃解冻后将细胞置于37℃,体积分数为5%CO₂,95%饱和湿度的培养箱中用RPMI1640培养液(含有10%胎牛血清及青链霉素各100mg/L)培养。每2d换液一次,细胞生长融合度达80%以上时进行传代。实验为生长至对数期的细胞。

1.3 iASPP的siRNA转染LoVo细胞

细胞转染参照脂质体LipofectamineTM2000转染说明进行操作。LoVo细胞分为空白对照组(仅加

入脂质体,Blank组)、阴性对照组(转染无义的siRNA序列,NC组)和iASPP-siRNA组(转染靶向i-ASPP的siRNA序列)。LoVo细胞转染前1d接种于6孔板(5×10⁵密度),观察到细胞生长融合度达70%~80%时进行转染。收集转染48h的细胞,用于转染效果检测及后续实验研究。

1.4 iASPP的siRNA转染LoVo细胞效果检测

提取转染48h的3组细胞总蛋白,Bio-Rad法测定蛋白的含量,配置的分离胶及浓缩胶的浓度分别为10%和5%,取等量50μg蛋白样品行SDS-PAGE电泳(电压为110V,电泳1.5h),电泳结束后转硝酸纤维素膜(NC膜),5%脱脂奶粉封闭,4℃孵育按照1:1000稀释的iASPP和GAPDH抗体过夜,洗膜,加入HRP标记的羊抗兔IgG二抗(1:10000稀释),室温孵育2h。化学发光法显色。实验重复3次。

1.5 细胞增殖检测

以每孔5×10³个细胞密度接种3组细胞于96孔板,每组设置6个复孔,并设置只加入培养液空白对照孔,分别于转染的24h、48h和72h收集细胞,于每孔细胞加入10μl CCK8溶液,37℃孵育2h,酶标仪检测570nm波长下的光密度值(OD),每组设置5个复孔,以光密度值反映细胞活力,间接反映出细胞增殖能力。实验重复3次。

1.6 细胞凋亡检测

收集转染48h的细胞,制备为单细胞悬液,预冷的磷酸盐缓冲液洗涤细胞,离心,弃上清,结合缓冲液调整细胞浓度为每毫升含5×10⁵个细胞,采用Annexin-FITC/PI双标记试剂盒,利用流式细胞仪检测各组细胞的凋亡情况。实验重复3次。

1.7 Ki-67、Caspase3、STAT3、p-STAT3蛋白表达检测

增殖相关蛋白Ki-67、凋亡相关蛋白Caspase3及STAT3、p-STAT3蛋白表达检测参照1.4方法。

1.8 统计学处理

所有实验数据采用SPSS 21.0软件进行分析,计量资料用 $\bar{x}\pm s$ 表示,多组差异比较采用单因素方差分析,两两比较采用LSD-t检验, $P<0.05$ 为差异有统计学意义。

2 结果

2.1 iASPP的siRNA转染LoVo细胞效果

iASPP-siRNA转染LoVo细胞48h,Western blotting检测细胞中iASPP的蛋白表达,结果如Fig-

ure 1 所示,空白对照组、阴性对照组和 iASPP-siRNA 组 iASPP 的蛋白表达水平分别为 0.389 ± 0.036 、 0.402 ± 0.042 、 0.108 ± 0.013 ,3 组比较差异有统计学意义 ($F=76.912, P<0.001$), iASPP-siRNA 组 iASPP 的蛋白表达显著低于空白对照组 ($t=10.490, P<0.001$), 而阴性对照组 iASPP 的蛋白表达与空白对照组比较差异无统计学意义 ($t=0.485, P=0.645$)。

2.2 iASPP 的 siRNA 转染降低 LoVo 细胞活力

各组细胞活力检测结果如 Table 1 所示。与空白对照组比较,iASPP-siRNA 组细胞在转染 24h、48h 和 72h 的细胞活力均显著降低 ($t_{24h}=3.690, P_{24h}=0.010$; $t_{48h}=3.154, P_{48h}=0.020$; $t_{72h}=4.121, P_{72h}=0.006$)。

2.3 iASPP 的 siRNA 转染诱导 LoVo 细胞凋亡

流式细胞术检测各组细胞凋亡结果如 Figure 2 所示,空白对照组、阴性对照组和 iASPP-siRNA 组细胞凋亡率分别为 $2.13\% \pm 0.45\%$ 、 $2.04\% \pm 0.41\%$ 、 $11.18\% \pm 0.78\%$,与空白对照组比较,iASPP-siRNA 组细胞凋亡率显著升高 ($t=19.403, P<0.001$)。

2.4 iASPP 的 siRNA 转染对 LoVo 细胞 Ki-67、Caspase3、STAT3、p-STAT3 蛋白表达的影响

Western blotting 检测各组细胞中增殖相关蛋白 ki67、凋亡相关蛋白 Caspase3 及 STAT3、p-STAT3 的蛋白表达,结果如 Figure 3 和 Table 2 所示。与空白对照组比较,iASPP-siRNA 组 Ki-67 和 p-STAT3 蛋白表达显著降低 ($t_{Ki-67}=6.846, P_{Ki-67}=0.001$; $t_{p-STAT3}=4.151, P_{p-STAT3}=0.006$), Caspase3 蛋白表达显著升高 ($t=9.769, P<0.001$);3 组间 STAT3 的蛋白表达差异无统计学意义 ($P>0.05$)。

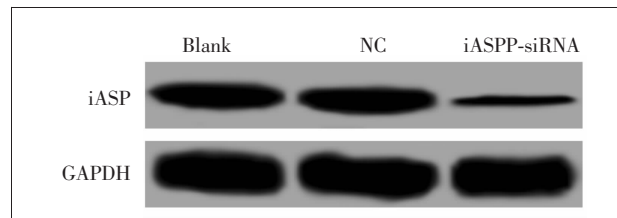


Figure 1 The effect of iASPP siRNA transfection on LoVo cells

Table 1 The effect of iASPP siRNA transfection on LoVo cell viability (n=3)

Groups	OD ₅₇₀		
	24h	48h	72h
Blank group	0.385 ± 0.042	0.688 ± 0.074	0.977 ± 0.097
NC group	0.372 ± 0.041	0.671 ± 0.083	0.953 ± 0.095
iASPP-siRNA group	$0.267 \pm 0.034^*$	$0.495 \pm 0.067^*$	$0.682 \pm 0.068^*$
<i>F</i>		8.189	6.098
<i>P</i>		0.019	0.036

Note: Compared with blank group, *: $P<0.05$

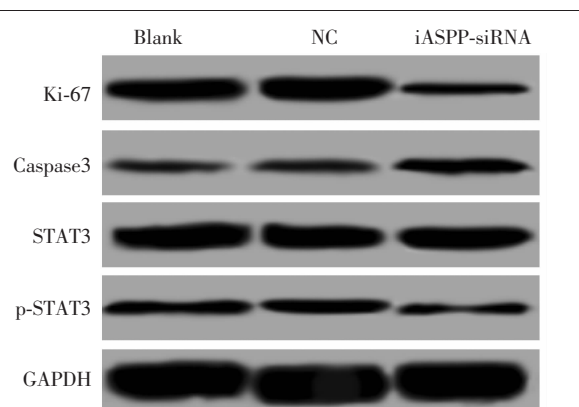


Figure 3 The effect of iASPP siRNA transfection on expression of Ki-67, Caspase3, STAT3, p-STAT3 protein in LoVo cells

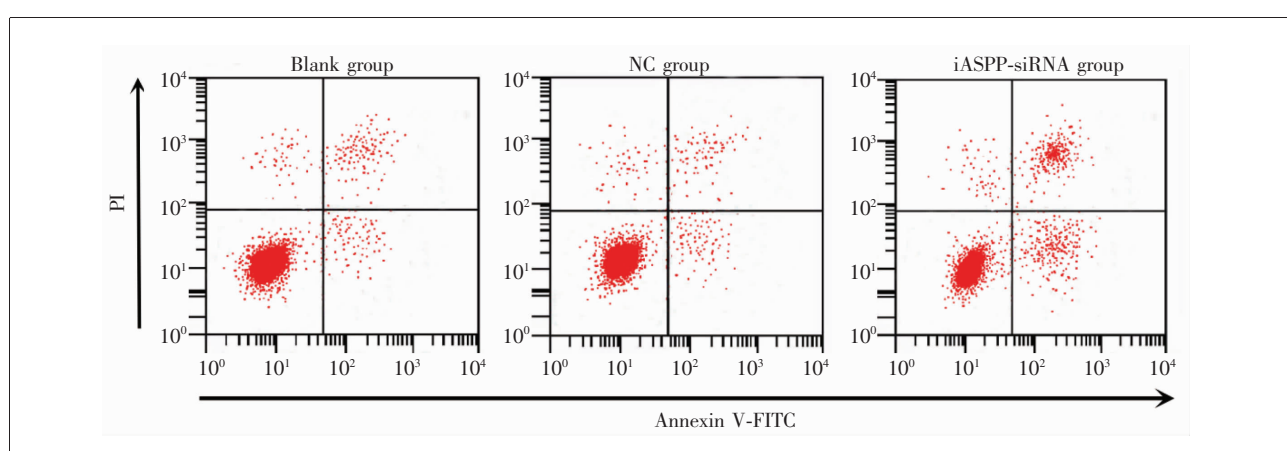


Figure 2 The effect of iASPP siRNA transfection on apoptosis of LoVo cells

Table 2 The relative expression of Ki-67, Caspase3, STAT3 and p-STAT3 proteins in each groups(n=3)

Groups	Ki-67	Caspase3	STAT3	p-STAT3
Blank group	0.365±0.045	0.086±0.009	0.545±0.056	0.169±0.018
NC group	0.386±0.056	0.097±0.010	0.522±0.051	0.180±0.021
iASPP-siRNA group	0.126±0.018*	0.197±0.020*	0.534±0.058	0.110±0.012*
F	34.228	57.940	0.131	14.030
P	0.001	0.000	0.880	0.006

Note: Compared with blank group, *: P<0.05

3 讨 论

细胞凋亡对维持机体正常生理过程发挥重要作用,异常凋亡引起细胞增生过度,是肿瘤形成及发展的主要原因,近些年的研究已发现大量影响肿瘤形成和发现的凋亡促进和抑制因子。P53是重要的抑癌基因,可诱导细胞凋亡和细胞生长停滞^[7],iASPP是p53调节家族中的一个抑制性成员,与ASPP1和ASPP2有高度的同源性,对p53的促凋亡活性抑制可能是与ASPP1和ASPP2竞争性结合p53有关^[8]。研究表明,在多种肿瘤中iASPP有高表达,头颈鳞癌中沉默iASPP的表达可增加紫杉醇对细胞凋亡和细胞周期阻滞作用,从而增强化疗敏感性^[9];大肠癌中iASPP的高表达与肿瘤浸润程度、肿瘤分化、淋巴结转移有关,抑制大肠癌中iASPP表达可降低细胞增殖^[10,11]。本研究中通过RNA干扰技术沉默大肠癌iASPP的表达,通过CCK8法及流式细胞术分别检测细胞增殖活力及凋亡情况,结果显示,iASPP的表达受到抑制后细胞增殖活力明显降低,凋亡率增加。

Ki-67是一个与细胞增殖相关的核抗原,可作为肿瘤细胞增殖活性评估的重要标志物,可作为包括大肠癌在内的多种肿瘤增殖活性评价的指标^[12]。细胞凋亡过程中Caspase家族发挥关键作用,均以酶原这种无活性的形式存在,Caspase3是处在Caspase级联反应下游的一个关键酶,作为凋亡执行者之一,活化的Caspase3可使凋亡进入不可逆阶段^[13]。研究发现,大肠癌中Caspase3的表达低于正常黏膜组织,其下调表达影响大肠癌的发生发展,可作为判定预后和生物学行为的临床参考指标^[14]。STAT3是一个新近发现的核转录因子,与多种肿瘤细胞的增殖、转移、凋亡等生物学行为有关,作为一个癌基因在多种肿瘤中处于激活状态,异常持续激活的STAT3

可促进肿瘤形成和发展^[15,16]。研究发现,大肠癌中STAT3的高表达与肿瘤分化程度、临床分期等有关,利用RNA干扰技术沉默其表达可抑制大肠癌细胞增殖,诱导凋亡及阻滞细胞周期^[17,18]。本研究检测结果显示,抑制iASPP的表达后Ki-67表达下调,Caspase3表达上调,p-STAT3表达下调,STAT3表达无明显变化。

综上所述,抑制iASPP基因表达可降低大肠癌细胞增殖,诱导细胞凋亡,机制是下调STAT3信号,对细胞增殖的影响是下调Ki-67表达,凋亡的影响是上调Caspase3表达。本研究结果为大肠癌的诊断及治疗提供了一定的理论基础。iASPP在大肠癌中其他生物学特性及作用机制还未明确,值得进一步深入研究。

参 考 文 献:

- [1] Han Y, Yang Y, Yuan H, et al. UCA1, a long non-coding RNA up-regulated in colorectal cancer influences cell proliferation, apoptosis and cell cycle distribution [J]. Pathology, 2014, 46(5):396–401.
- [2] Chen J, Xiao H, Huang Z, et al. MicroRNA124 regulate cell growth of prostate cancer cells by targeting iASPP[J]. Int J Clin Exp Pathol, 2014, 7(5):2283–2290.
- [3] Tang Y, He R, An J, et al. lncRNA XIST interacts with miR-140 to modulate lung cancer growth by targeting i-ASPP[J]. Oncol Rep, 2017, 38(2):941–948.
- [4] Wang LL, Xu Z, Peng Y, et al. Downregulation of inhibitor of apoptosis-stimulating protein of p53 inhibits proliferation and promotes apoptosis of gastric cancer cells[J]. Mol Med Rep, 2015, 12(2):1653–1658.
- [5] Chen Y, Yan W, He S, et al. In vitro effect of iASPP on cell growth of oral tongue squamous cell carcinoma [J]. Chin J Cancer Res, 2014, 26(4):382–390.
- [6] Xin C, Zhang H, Liu Z. miR-154 suppresses colorectal cancer cell growth and motility by targeting TLR2 [J]. Mol Cell Biochem, 2014, 387(1–2):271–277.
- [7] Zhu YX, Zhao MX, Jiang DG, et al. Expression of tumor suppressor gene p53, apoptosis-suppressing gene Bcl-2, pro-apoptotic gene Bax in gastric cancer and precancerous lesions [J]. Chinese Journal of Gastroenterology and Hepatology, 2016, 25(9):1040–1043.[朱玉侠,赵明星,姜登鸽,等.抑癌基因p53,凋亡抑制基因Bcl-2,促凋亡基因

- Bax 在胃癌及癌前病变中的表达[J]. 胃肠病学和肝病学杂志, 2016, 25(9): 1040–1043.]
- [8] Liu H, Chen F, Zhang L, et al. A novel all-trans retinoic acid derivative 4-amino-2-trifluoromethyl-phenyl retinate inhibits the proliferation of human hepatocellular carcinoma HepG2 cells by inducing G0/G1 cell cycle arrest and apoptosis via upregulation of p53 and ASPP1 and down-regulation of iASPP[J]. Oncol Rep, 2016, 36(1): 333–341.
- [9] Kim JW, Roh JL, Park Y, et al. Cytoplasmic iASPP expression as a novel prognostic indicator in oral cavity squamous cell carcinoma[J]. Ann Surg Oncol, 2015, 22(2): 662–669.
- [10] Amirkhah R, Schmitz U, Linnebacher M, et al. MicroRNA-mRNA interactions in colorectal cancer and their role in tumor progression [J]. Genes Chromosomes Cancer, 2015, 54(3): 129–141.
- [11] Sun Y, Zhao X, Luo M, et al. The pro-apoptotic role of the regulatory feedback loop between miR-124 and PKM1/HNF4 α in colorectal cancer cells [J]. Int J Mol Sci, 2014, 15(3): 4318–4332.
- [12] Melling N, Kowitz CM, Simon R, et al. High Ki67 expression is an independent good prognostic marker in colorectal cancer[J]. J Clin Pathol, 2016, 69(3): 209–214.
- [13] Ren JX, Liu S, Sun Y, et al. Inhibitory effect of neostatin on C6 glioma cells [J]. Chinese Journal of Gerontology, 2016, 36(19): 4705–4706.[任吉祥, 刘爽, 孙洋, 等. 新型肿瘤抑素对 C6 神经胶质瘤细胞抑制作用的影响[J]. 中国老年学杂志, 2016, 36(19): 4705–4706.]
- [14] Yin D, Liu Z, Zhang E, et al. Decreased expression of long noncoding RNA MEG3 affects cell proliferation and predicts a poor prognosis in patients with colorectal cancer[J]. Tumour Biol, 2015, 36(6): 4851–4859.
- [15] Liu L, Wang Y, Sang JZ. Expression and significance of p-Stat3 and its downstream target gene c-myc in laryngeal squamous cell carcinoma tissues and cells [J]. Journal of Clinical Otorhinolaryngology Head and Neck Surgery, 2016, 30(2): 123–125.[刘丽, 王莹, 桑建中. p-Stat3 及其下游靶基因 c-myc 在喉鳞癌组织和细胞中的表达及意义 [J]. 临床耳鼻咽喉头颈外科杂志, 2016, 30(2): 123–125.]
- [16] Kim C, Kim JH, Oh EY, et al. Blockage of STAT3 signaling pathway by morusin induces apoptosis and inhibits invasion in human pancreatic tumor cells [J]. Pancreas, 2016, 45(3): 409–419.
- [17] Sanchez-Lopez E, Flashner-Abramson E, Shalapour S, et al. Targeting colorectal cancer via its microenvironment by inhibiting IGF-1 receptor-insulin receptor substrate and STAT3 signaling[J]. Oncogene, 2016, 35(20): 2634–2644.
- [18] Zhao B, Dong AS. MiR-874 inhibits cell growth and induces apoptosis by targeting STAT3 in human colorectal cancer cells[J]. Eur Rev Med Pharmacol Sci, 2016, 20(2): 269–277.